

УДК 536.24.01

ЭФФЕКТИВНАЯ ТЕПЛОПРОВОДНОСТЬ ГЕТЕРОГЕННОЙ СРЕДЫ  
С ЭЛЛИПСОИДАЛЬНЫМИ ЧАСТИЦАМИ

*И. Н. Щелкоза*

(Москва)

Вычислены главные компоненты тензора эффективной теплопроводности, характеризующего стационарный макроперенос тепла в сплошной среде с диспергированными эллипсоидальными частицами другого вещества, на основе метода, предложенного в [1]. В качестве примера рассмотрены случаи эллипсоидов, ориентированных в одном направлении, и распределенных изотропно.

1. Рассмотрим однородный в среднем материал, состоящий из сплошной среды с теплопроводностью  $\lambda_1$ , содержащей частицы другого вещества с теплопроводностью  $\lambda_2$ . Предполагается, что частицы одинаковы и имеют форму эллипсоидов вращения с выделенной осью  $e$ . Центры эллипсоидов распределены в пространстве случайным образом, так что корреляция между положениями отдельных включений отсутствует.

Ориентация векторов  $e$  произвольна с предпочтительным направлением  $m$ . Для удобства совместим с  $m$  ось  $Z$  лабораторной системы координат. Положение системы координат  $(x_1, x_2, x_3)$ , связанной с произвольным эллипсоидом, задается матрицей перехода  $\gamma_{ik}$ , определяемой через углы Эйлера, причем  $e$  направлен по оси  $x_3$ . Функция распределения ансамбля  $N$  частиц по углам

$$(1.1) \quad f(a_1, \dots, a_N) = \prod_{i=1}^N f(a_i), \quad \int f(a) da = 1$$

$$a = \{\varphi, \psi, \theta\}, \quad da = \sin \theta d\varphi d\psi d\theta$$

В дальнейшем будем обозначать угловыми скобками усреднение по ансамблю, а квадратными скобками — усреднение по малому физическому объему, который содержит достаточно большое число включений.

Тензор эффективной теплопроводности материала  $\lambda_{ik}$ , характеризующий макроперенос тепла в нем, имеет два различных главных значения и определяется следующим образом:

$$(1.2) \quad [Q]_i = -\lambda_{ik} [\nabla T], \quad [Q] = (1 - \rho) [Q_1] + \rho \int f(a) [Q_2] da$$

$$[\nabla T] = (1 - \rho) [\nabla T_1] + \rho \int f(a) [\nabla T_2] da$$

$$[Q_1] = -\lambda_1 [\nabla T_1] = -\lambda_1 \nabla \langle T_1 \rangle, \quad [Q_2] = -\lambda_2 [\nabla T_2]$$

где  $\rho$  — объемная концентрация, а индексы 1 и 2 относятся соответственно к связующему и наполнителю.

2. В соответствии с методом, обсуждаемым подробно в [1], реальное возмущение, производимое частицей, заменяется возмущением от точечного диполя  $D$ , который приложен в центре частицы. Для определения  $[\nabla T_2]$

задача о теплопереносе в теле со сложной геометрией заменяется задачей о теплопроводности в гомогенной среде с произвольным эллипсоидальным включением.

Как можно показать аналогично [1], средняя температура удовлетворяет уравнению

$$(2.1) \quad \lambda_1 \Delta \langle T_1 \rangle = \nabla d, \quad d = \int D n(a) da$$

где  $d$  — средний дипольный момент единицы объема, а  $n(a) = nf(a)$  — счетная концентрация частиц.

Поскольку единственными выделенными направлениями в пространстве в среднем являются  $\nabla \langle T_1 \rangle$  и  $m$ , предполагаем, что

$$(2.2) \quad d = \alpha \nabla \langle T_1 \rangle + \beta (\nabla \langle T_1 \rangle m) m$$

где  $\alpha, \beta = \text{const}$ , зависящие от  $\lambda_1, \lambda_2, \rho$  и формы частиц.

Тогда уравнение (2.1) запишется в лабораторной системе координат в виде

$$(2.3) \quad \lambda' (\partial^2 / \partial X^2 + \partial^2 / \partial Y^2) \langle T_1 \rangle + \lambda'' (\partial^2 / \partial Z^2) \langle T_1 \rangle = 0$$

$$\lambda' = \lambda_1 - \alpha, \quad \lambda'' = \lambda_1 - \alpha - \beta$$

Для определения  $\alpha, \beta$  рассмотрим влияние, которое оказывает произвольное эллипсоидальное включение на процесс теплопереноса в анизотропной среде ( $\lambda', \lambda''$ ) с постоянным градиентом температуры  $E$  на бесконечности. Решение задачи дает выражение для  $\nabla T_2$ , что позволяет вычислить  $d$  из (2.1) и тем самым получить уравнения для определения  $\alpha$  и  $\beta$ .

В системе координат

$$x = X, \quad y = Y, \quad z = k^{-1}Z, \quad k^2 = \lambda'' / \lambda'$$

отнесенной к центру произвольной частицы, имеем вне эллипса уравнение (2.3) внутри и на границе

$$(2.4) \quad \begin{aligned} \lambda' \Delta \langle T_1 \rangle &= 0 \\ \lambda_2 \left( \frac{\partial^2}{\partial x^2} + \frac{\partial^2}{\partial y^2} \right) T_2 + k^{-2} \lambda_2 \frac{\partial^2}{\partial z^2} T_2 &= 0 \\ \langle T_1 \rangle = T_2, \quad n Q^{(1)} = n Q^{(2)}, \quad \nabla \langle T_1 \rangle \rightarrow E^{(1)}, &\quad r \rightarrow \infty \end{aligned}$$

Известно из [2], что решение поставленной задачи удовлетворяет соотношению

$$(2.5) \quad \begin{aligned} E_i^{(2)} - \hat{n}_{ik} (Q_k^{(2)} / \lambda' + E_k^{(2)}) &= E_i^{(1)} \\ E^{(2)} = \nabla T_2, \quad Q_k^{(2)} = -\lambda_k^{(2)} E_k^{(2)}, \quad \lambda_1^{(2)} = \lambda_2^{(2)} = \lambda_2, \quad \lambda_3^{(2)} &= k^{-2} \lambda_2 \end{aligned}$$

$Q^{(2)}$  — поток тепла внутри эллипса. При переходе к системе координат  $(x, y, z)$  эллипс, имеющий тензор деполяризации  $n_{ik} = \gamma_{li} \gamma_{lk} n_l$ , преобразуется в эллипс с тензором деполяризации  $\hat{n}_{ik} = \Gamma_{li} \Gamma_{lk} \hat{n}_l$ , где  $\hat{n}_l$  — главные значения. Компоненты матрицы перехода  $\Gamma_{ik}$  к его осям будут зависеть от углов Эйлера новых осей, причем  $\langle \Gamma_{li} \Gamma_{lk} \rangle = 0$ ,  $i \neq k$ . Отметим, что оси преобразованного эллипса, а следовательно, и  $\hat{n}_l$  будут зависеть только от  $\cos^2 \theta$  и  $\lambda'' / \lambda'$ .

Из (2.5) находим градиент температуры  $\mathbf{E}^{(2)}$ , возникающий в эллипсоиде при внесении в анизотропную среду с градиентом температуры  $\mathbf{E}$

$$(2.6) \quad E_i^{(2)} = N_{ik} E_k, \quad N_{ik}^{-1} = \delta_{ik} + \hat{n}_{ik} (\lambda_k^{(2)} / \lambda' - 1)$$

В лабораторной системе координат вычисляем дипольный момент  $\mathbf{D}$ , а также  $d$  из (2.1)

$$(2.7) \quad \mathbf{D} = \int (\mathbf{q} n) r ds, \quad \mathbf{q} = -\lambda_2 \mathbf{E}^{(2)} + \lambda_1 \mathbf{E}$$

$$D_i = V (\lambda_1 \delta_{ik} - \lambda_2 N_{ik}) E_k, \quad d_i = \rho (\lambda_1 \delta_{ik} - \lambda_2 \langle N_{ik} \rangle) E_k$$

где  $V$  — объем эллипса. Можно показать, что

$$\langle N_{ik} \rangle = 0, \quad i \neq k, \quad \langle N_{11} \rangle = \langle N_{22} \rangle$$

Сравнивая (2.2) и (2.7), получаем уравнения для определения  $\alpha$  и  $\beta$  как функций от  $\rho$ ,  $\lambda_1$ ,  $\lambda_2$ ,  $n_l$

$$(2.8) \quad \begin{aligned} \alpha &= \rho (\lambda_1 - \lambda_2 \langle N_{11} \rangle), \quad \alpha = \lambda_1 - \lambda' \\ \alpha + \beta &= \rho (\lambda_1 - \lambda_2 \langle N_{33} \rangle), \quad \alpha + \beta = \lambda_1 - \lambda'' \end{aligned}$$

3. Эффективная теплопроводность  $\Lambda_{ik}$  вычисляется на основании (1.2). Из (2.6), (2.8) средний поток тепла и средний градиент температуры

$$(3.1) \quad [Q]_i = -\{(1 - \rho) \lambda_1 + \rho \lambda_2 \langle N_{ii} \rangle\} \nabla \langle T_1 \rangle = \begin{cases} -\lambda' \nabla \langle T_1 \rangle; & i = 1, 2 \\ -\lambda'' \nabla \langle T_1 \rangle; & i = 3 \end{cases}$$

$$[\nabla T]_i = (1 - \rho + \rho \langle N_{ii} \rangle) \nabla \langle T_1 \rangle$$

В безразмерных переменных

$$\kappa = \lambda_2 / \lambda_1, \quad \xi_1 = \xi_2 = \lambda' / \lambda_1, \quad \xi_3 = \lambda'' / \lambda_1, \quad \Lambda_{ik} = \lambda_{ik} / \lambda_1$$

главные компоненты  $\Lambda_i$  тензора эффективной теплопроводности  $\Lambda_{ik}$  следующие:

в предпочтительном направлении ориентации эллипсоидов

$$(3.2) \quad \Lambda_3 = \xi_3 (1 - \rho + \rho \langle N_{33} \rangle)^{-1}$$

в любом направлении, перпендикулярном к нему,

$$(3.3) \quad \Lambda_1 = \Lambda_2 = \xi_1 (1 - \rho + \rho \langle N_{11} \rangle)^{-1}$$

где  $\langle N_{ii} \rangle$  вычисляется исходя из (2.6) и уравнений (2.8) для определения  $\lambda'$ ,  $\lambda''$ .

В случае, когда выделенные оси эллипсоидов параллельны (функция распределения по углам  $f(a) = 1/2 \pi^{-2} \delta(\cos \theta - 1)$ )

$$(3.4) \quad \langle N_{33} \rangle = \{1 + \hat{n}_3 (\lambda_2 / \lambda' - 1)\}^{-1}$$

$$\langle N_{11} \rangle = \langle N_{22} \rangle = \{1 + n_1 (\lambda_2 / \lambda' - 1)\}^{-1}$$

Главные значения тензора эффективной теплопроводности из (3.2) и (3.3)

$$(3.5) \quad \Lambda_3 = \xi_3 \{ \xi_3 (1 - \hat{n}) + \kappa \hat{n} \} \{ (1 - \hat{n} + \rho \hat{n}) \xi_3 - \kappa \hat{n} (1 - \rho) \}^{-1}$$

$$\Lambda_1 = \xi_1 \{ \xi_1 (1 + \hat{n}) + \kappa (1 - \hat{n}) \} \{ (1 + \hat{n} + \rho (1 - \hat{n})) \xi_1 - \kappa (1 - \hat{n}) (1 - \rho) \}^{-1}$$

$$\hat{n} = \hat{n}_3$$

Сложность представляет вычисление  $\xi_i$  из (2.8) и  $\hat{n} = \hat{n} (\xi_3 / \xi_1)$  — коэффициента деполяризации в преобразованной системе координат (см. (2.4)).

В случае изотропной функции распределения по углам  $f(a) = 1/8\pi^2$  тензор эффективной теплопроводности шаровой. Обозначая коэффициент деполяризации  $n_3$  через  $n$  ( $n_1 = n_2 = (1 - n)/2$ ) и учитывая, что

$$N_{ik} = \gamma_{il}\gamma_{lk} \{ 1 + n_l (\lambda_2 / \lambda' - 1) \}^{-1}, \langle \gamma_{ii}^2 \rangle = 1/3$$

получаем из (2.8) кубическое уравнение для определения  $\xi = \lambda'/\lambda_1$

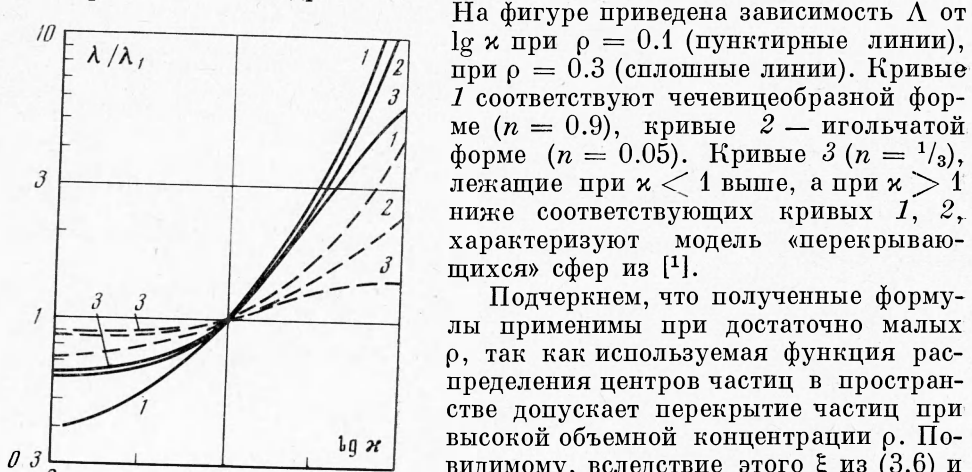
$$(3.6) \quad \xi^3 (1 - n^2) + \xi^2 \{ \kappa (1 - n + 2n^2) - \rho \kappa (5/3 - n) - (1 - \rho) (1 - n^2) \} + \xi \kappa \{ \kappa n (1 - n) - \rho \kappa (n + 1/3) - (1 - \rho) \times (1 - n + 2n^2) \} - \kappa^2 n (1 - n) (1 - \rho) = 0$$

Коэффициенты уравнения таковы, что возможен только один положительный корень. На основании (3.2), (3.3), (3.6) безразмерная эффективная теплопроводность материала

$$(3.7) \quad \Lambda = \lambda / \lambda_1 = \xi \Delta \{ (1 - \rho) \Delta + \rho \xi^2 (5/3 - n) + \rho \xi \kappa (n + 1/3) \}^{-1}$$

$$\Delta = \xi^2 (1 - n^2) + \xi \kappa (1 - n + 2n^2) + \kappa^2 n (1 - n)$$

При фиксированных  $\rho, \kappa < 1$  величина  $\Lambda$  имеет максимум при  $n = 1/3$ , что соответствует случаю сферических частиц. Если  $\kappa > 1$ ,  $\Lambda$  имеет минимум при  $n = 1/3$ . Подробно сферические включения рассмотрены в [1].



На фигуре приведена зависимость  $\Lambda$  от  $\lg \kappa$  при  $\rho = 0.1$  (пунктирные линии), при  $\rho = 0.3$  (сплошные линии). Кривые 1 соответствуют чечевицеобразной форме ( $n = 0.9$ ), кривые 2 — игольчатой форме ( $n = 0.05$ ). Кривые 3 ( $n = 1/3$ ), лежащие при  $\kappa < 1$  выше, а при  $\kappa > 1$  ниже соответствующих кривых 1, 2, характеризуют модель «перекрывающихся» сфер из [1].

Подчеркнем, что полученные формулы применимы при достаточно малых  $\rho$ , так как используемая функция распределения центров частиц в пространстве допускает перекрытие частиц при высокой объемной концентрации  $\rho$ . Понятно, вследствие этого  $\xi$  из (3.6) и эффективная теплопроводность  $\Lambda$  из (3.7) обращаются в бесконечность при  $\kappa \rightarrow \infty$  и  $\rho > \rho_*$ ,  $\rho_* = n (1 - n) / (n + 1/3)$ , ( $\max \rho_* = 1/3$  и достигается при  $n = 1/3$ ).

В случае сферических включений можно ввести (см. [1]) функцию распределения центров, которая учитывает, что частицы не перекрываются. Сравнение результатов для моделей «перекрывающихся» и «неперекрывающихся» сфер показало, что значения эффективных теплопроводностей  $\Lambda$  близки при  $\rho < \rho^* = 1/3$  и  $\kappa \lesssim 10$ .

Отметим, что в соответствующих постановках задачи об определении эффективной теплопроводности, диэлектрической проницаемости и электропроводности математически эквивалентны.

Автор благодарит Ю. А. Буевича за внимание к работе.

Поступила 28 IX 1973

#### ЛИТЕРАТУРА

1. *Буевич Ю. А.* Об эффективной теплопроводности зернистых материалов. ПМТФ, 1973, № 4.
2. *Ландау Л. Д., Лифшиц Е. М.* Электродинамика сплошных сред. М., Гостехиздат, 1957.